

活性粒子的随机Stirling热机的性能分析

BigChaoor

2022.06.13

1 报告梗概

本报告主要围绕Kumari等人在2020年对微观Stirling热机的研究工作[4]，将模型翻译成布朗运动驱动的随机微分方程 (SDE)，给出了论文中某些公式或结论的详细推导过程，也考虑了无活性粒子(没有粒子额外造成的噪声影响)的准静态微观Stirling热机的效率，此外，对连接在Stirling热机上的飞轮模型，给出了位置函数的解析表达式，并用Euler-Maruyama方法做了数值模拟，数值实验结果是和论文[4]中的结果是相符的。

2 对Kumari等人工作的介绍

2.1 背景简述

近二十年来，随机热力学一直是非平衡热力学和统计力学的基石，它规定了在小系统(尺寸 $\leq 1\mu m$)上进行的单个实验的热力学量的定义，如功、热或熵。由于在如此小的规模下驱动机器需要相应的微观发动机，人们投入了大量的努力试图理解小型发动机的热力学。

Schmeidl和Seifert [7] 于2008年构想了一种随机Carnot热机，它被模拟成一个被困在谐波势阱中的布朗粒子，阱的刚度随时间缓慢变化，以模拟Carnot循环的等温膨胀和压缩过程，整个过程中没有热量传递。Blickle和Bechinger [2] 实验实现了介观粒子的Stirling热机，其中困在谐波势阱中的粒子受限于势阱刚度的准静态变化的影响，从而模拟了Stirling发动机的等温臂，等容臂是用溶液温度的瞬时变化来模拟的。

活性溶液由活性粒子组成，这些粒子可能像细菌一样生活，也可能像Janus粒子那样人工制备[1, 5]。近年来，Krishnamurthy等[3]的实验工作和Saha等[6]的理论工作对在细菌浴(活性溶液)中由被动胶体粒子(非活性粒子)形成的发动机的性能进行了探索。这两项工作都表明，在适当的参数范围内，发动机的效率可以超过利用热水浴的效率。

2.2 基本模型

Kumari等专家的研究基于[2]中的模型，所研究的系统是一个活性Ornstein-Uhlenbeck粒子浸没在热水浴中，其温度可取 T_h 或 T_c 值($T_h > T_c$)，粒子的活性和热浴的温度是周期性定时

调节的。其基本原理是一个循环分成四步：第一步是等温膨胀(温度为 T_h ，通过降低势阱刚度来实现)；第二步是等容放热，温度突降；第三步是等温压缩(温度为 T_c ，通过增大势阱刚度来实现)；第四步等容吸热，温度骤增至 T_h 。第一个周期 $[0, \tau]$ 内的具体数学模型如下：

1. $0 \leq t < \tau/2$ ，粒子处于高温为 T_h 的热浴中，其活性可以忽略不计，看作非活性粒子，刚度常数 $k_e(t) = k_0(1 - t/\tau)$ 随时间降低，因此粒子运动的体积膨胀，位置变化遵循Langevin方程

$$\gamma \dot{x} = -k_e(t)x + \sqrt{D_h}\xi, \quad (1)$$

其中 $D_h = 2\gamma k_B T_h$ ， k_B 是Boltzmann常数， ξ 是零均值高斯分布的白噪声，满足 $\langle \xi(t)\xi(t') \rangle = \delta(t - t')$ 。

2. 第二步，温度骤降为 T_c ，刚度常数保持为 $k_0/2$ 。

3. $\tau/2 \leq t < \tau$ ，粒子与温度为 T_h 的冷浴接触，变成活性，因此除溶液的白噪声外，粒子运动会引发相关噪声，从而对功的提取产生较大影响，但不同于[6]，这里不忽略溶液的白噪声的影响，此时粒子运动遵循的Langevin方程变为

$$\begin{aligned} \gamma \dot{x} &= -k_c(t)x + \sqrt{D_c}\xi + \sqrt{D_\eta/\tau_\eta}\eta, \\ \tau_\eta \dot{\eta} &= -\eta + \sqrt{2\tau_\eta}\xi_\eta, \end{aligned} \quad (2)$$

其中 ξ_η 是另一独立于 ξ 的均值为零的高斯白噪声， η 是活性粒子引发的高斯分布指数相关的噪声，满足 $\eta(0) = \delta(0)$ ，时间相关函数

$$\langle \eta(t)\eta(t') \rangle = e^{-|t-t'|/\tau_\eta}, \quad (3)$$

η 的初始分布是一个 $\eta = 0$ 处的 δ 函数。刚度常数 $k_c(t) = k_0 t/\tau$ 随时间增大，这是等温压缩，当时间到 τ 时，刚度常数变回 k_0 。

4. 最后，第四步是等容吸热，温度突然升高到 T_h ，从而完成整个Stirling循环。

2.3 功的提取和效率

文章的第四部分考虑了基于模型(1)-(2)的Stirling热机的功。直接给出了粒子的位置 $x(t)$ 在等温膨胀和压缩阶段的解析表达式分别为

$$x(t) = x_0 e^{-I_e(t)} + \frac{\sqrt{D_h}}{\gamma} e^{-I_e(t)} \int_0^t \xi(t') e^{I_e(t')} dt', \quad 0 \leq t < \frac{\tau}{2}, \quad (4)$$

$$x(t) = x(\tau/2) e^{-I_e(t)} + \frac{e^{-I_c(t)}}{\gamma} \int_{\tau/2}^t \left(\sqrt{D_c}\xi(t') + \sqrt{\frac{D_\eta}{\tau_\eta}}\eta(t') \right) e^{I_c(t')} dt', \quad \frac{\tau}{2} \leq t < \tau, \quad (5)$$

其中 $I_e(t) = \int_0^t \frac{k_e(t')}{\gamma} dt'$ ， $I_c(t) = \int_{\tau/2}^t \frac{k_c(t')}{\gamma} dt'$ (文章这里取的积分下限是0，但经推导我认为应

该是 $\frac{\tau}{2}$ ，见第3部分(20)式)，以及粒子的位置方差 $\sigma_e(t) = \langle x^2(t) \rangle|_{0 < t \leq \frac{\tau}{2}}$ 和 $\sigma_c(t) = \langle x^2(t) \rangle|_{\frac{\tau}{2} < t \leq \tau}$ 所满足的动力学方程

$$\gamma \dot{\sigma}_e(t) = -2k_e(t)\sigma_e(t) + 2\sqrt{D_h} \langle \xi(t)x(t) \rangle, \quad (6)$$

$$\gamma \dot{\sigma}_c(t) = -2k_c(t)\sigma_c(t) + 2\sqrt{D_c} \langle \xi(t)x(t) \rangle + \sqrt{\frac{D_\eta}{\tau_\eta}} \langle \eta(t)x(t) \rangle, \quad (7)$$

从 $\langle x(\tau/2)\xi(t) \rangle = 0 = \langle x(\tau/2)\eta(t) \rangle$ ($t > \frac{\tau}{2}$)出发，得到

$$\langle \xi(t)x(t) \rangle = \begin{cases} \frac{\sqrt{D_h}}{2\gamma}, & 0 < t \leq \frac{\tau}{2}, \\ \frac{\sqrt{D_c}}{2\gamma}, & \frac{\tau}{2} < t \leq \tau, \end{cases} \quad (8)$$

原文中此处写成了 $\sqrt{D_h}/2\gamma$ ，感觉这样写不是很好。由方程(5)得到

$$\langle \eta(t)x(t) \rangle = \sqrt{\frac{\pi\tau D_\eta}{2k_0\gamma\tau_\eta}} \exp\left(-\frac{(k_0t\tau_\eta + \gamma\tau)^2}{2k_0\gamma\tau\tau_\eta^2}\right) \left\{ \operatorname{erfi}\left(\frac{k_0t\tau_\eta + \gamma\tau}{\tau_\eta\sqrt{2k_0\gamma\tau}}\right) - \operatorname{erfi}\left(\frac{\sqrt{\tau}(k_0\tau_\eta + 2\gamma)}{2\tau_\eta\sqrt{2k_0\gamma}}\right) \right\} \quad (9)$$

其中 $\operatorname{erfi}(z) \equiv -i\operatorname{erf}(iz)$ 是虚误差函数。限制粒子的初始位置固定在原点，文中得到了粒子位置方差的解析表达式

$$\sigma_e(t) = \left(\frac{D_h}{2\gamma^{3/2}} \sqrt{\frac{\pi\tau}{k_0}} \right) e^{\frac{k_0(t-\tau)^2}{\gamma\tau}} \left[\operatorname{erf}\left(\sqrt{\frac{k_0\tau}{\gamma}}\right) - \operatorname{erf}\left(\sqrt{\frac{k_0}{\gamma\tau}}(\tau-t)\right) \right], \quad (10)$$

$$\begin{aligned} \sigma_c(t) = & \frac{D_h}{2\gamma^{3/2}} \sqrt{\frac{\pi\tau}{k_0}} e^{-\alpha_1(t) + \frac{k_0\tau}{4\gamma}} \left(\operatorname{erf}\left(\sqrt{\frac{k_0\tau}{\gamma}}\right) - \operatorname{erf}\left(\sqrt{\frac{k_0\tau}{4\gamma}}\right) \right) \\ & + e^{-\alpha_1(t)} \int_{\frac{\tau}{2}}^t e^{\alpha_1(s)} \left(\frac{D_c}{\gamma^2} + \kappa e^{-\frac{\alpha_1(s)}{2} - \frac{s}{\tau_\eta}} \left[\operatorname{erfi}(\alpha_2(s)) - \operatorname{erfi}\left(\alpha_2\left(\frac{\tau}{2}\right)\right) \right] \right) ds \end{aligned} \quad (11)$$

其中

$$\alpha_1(t) = \frac{k_0\left(t^2 - \left(\frac{\tau}{2}\right)^2\right)}{\gamma\tau}, \quad \alpha_2(t) = \frac{k_0t\tau_\eta + \gamma\tau}{\tau_\eta\sqrt{2k_0\gamma\tau}}, \quad \kappa = \frac{D_\eta}{\gamma^{3/2}\tau_\eta} \sqrt{\frac{\pi\tau}{2k_0}} \exp\left(\frac{k_0\tau}{8\gamma} - \frac{\gamma\tau}{2k_0\tau_\eta^2}\right).$$

根据随机热力学中的定义，一个周期内的平均功可以通过如下公式计算，

$$\langle W \rangle = \frac{1}{2} \int_0^{\frac{\tau}{2}} \dot{k}_e(t)\sigma_e(t)dt + \frac{1}{2} \int_{\frac{\tau}{2}}^{\tau} \dot{k}_c(t)\sigma_c(t)dt. \quad (12)$$

论文第五部分说明了活性粒子的噪声 η 对Stirling发动机的效率有正面影响：如下图所示(来自于论文中很有启发性的图5和6)，有活性粒子噪声的效率高于被动粒子情形；固定热浴与冷

浴的噪声强度，发动机效率

$$\eta_s = \frac{-\langle W \rangle}{-\langle W \rangle + \langle \Delta E \rangle}$$

随着活性粒子引发的噪声增强而增大；在活性粒子的噪声 $\eta(t)$ 存在的情况下，如果增大热浴的噪声强度 D_h ，发动机效率反而会降低，当 D_h/D_c 很大时，效率逐渐趋于一个定值。

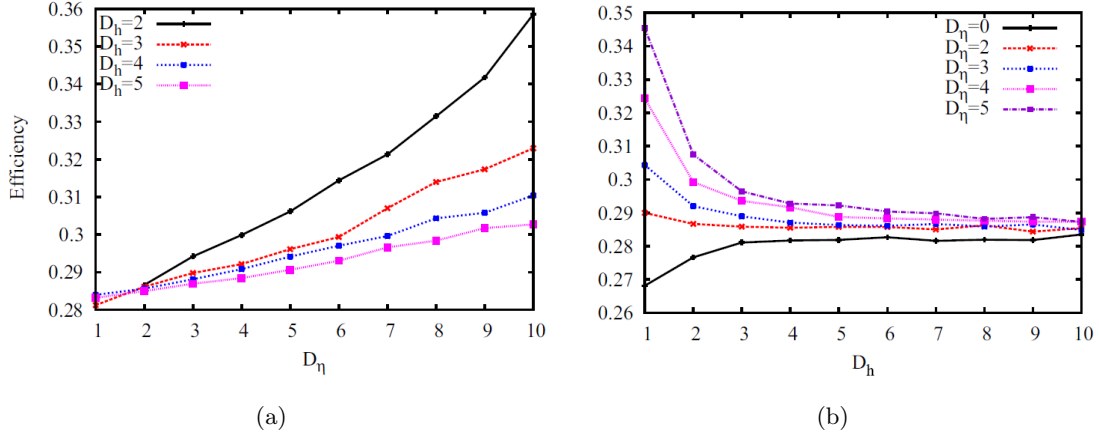


图 1: (a): 效率随粒子活性噪声强度的变化, 固定参数值为 $k_0 = 10$, $\tau_\eta = 1$, $D_c = 0.1$ 。(b): 效率随着热浴噪声强度的变化, 固定参数值为 $k_0 = 10$, $\tau_\eta = 1$, $D_c = 0.1$ 。

2.4 热机驱动的飞轮

论文第7部分考虑了与Stirling发动机相连的飞轮模型

$$\begin{cases} \gamma \dot{x}_1 = -(k_e(t) + K')x_1 + K'x_2 + \sqrt{D_h}\xi, \\ \gamma \dot{x}_2 = K'x_1 - (K + K')x_2 + \sqrt{D_h}\xi, \quad 0 < t \leq \frac{\tau}{2}; \end{cases} \quad (13)$$

$$\begin{cases} \gamma \dot{x}_1 = -(k_c(t) + K')x_1 + K'x_2 + \sqrt{D_c}\xi + \sqrt{\frac{D_\eta}{\tau_\eta}}\eta, \\ \gamma \dot{x}_2 = K'x_1 - (K + K')x_2 + \sqrt{D_c}\xi, \quad \frac{\tau}{2} < t \leq \tau, \end{cases} \quad (14)$$

其中 x_2 表示飞轮粒子的位置函数, K 是连接弹簧的刚度常数, K' 是飞轮粒子所在的谐波势阱的刚度常数。文中对耦合系统(13)-(14)进行了数值演化, 并绘制出有无活性粒子噪声的飞轮位置的方差函数图像, 显示出有活性粒子噪声的情况下飞轮粒子的位移方差更大, 说明输出的功也更大。

3 个人的分析和补充

分析了文章中某些公式(报告第二部分中列出的)的详细推证过程, 以及考虑了文中没展示的有无活性噪声的热机效率的对比, 按论文中的参数做了数值模拟。

3.1 一些结论的详细推证过程

按照惯例记法, 将模型方程写成一般的布朗运动驱动随机微分方程。高斯白噪声可以视为布朗运动的形式导数, 记方程(1)-(2)中的高斯白噪声 $\xi := \frac{dB(t)}{dt}$, $\xi_\eta := \frac{dB_\eta(t)}{dt}$, 其中 $B(t)$ 和 $B_\eta(t)$ 是定义于完备概率空间上的独立的标准布朗运动, 那么模型方程(1)和(2)可以被写成等价的Itô随机微分方程

$$dx(t) = -\frac{k_e(t)}{\gamma}x(t)dt + \frac{\sqrt{D_h}}{\gamma}dB(t), \quad (15)$$

和

$$dx(t) = -\frac{k_c(t)}{\gamma}x(t)dt + \frac{\sqrt{D_c}}{\gamma}dB(t) + \frac{1}{\gamma}\sqrt{\frac{D_\eta}{\tau_\eta}}\eta(t)dt, \quad (16)$$

$$d\eta(t) = -\frac{1}{\tau_\eta}\eta(t)dt + \sqrt{\frac{2}{\tau_\eta}}dB_\eta(t). \quad (17)$$

等式(3)的分析: $\eta(t)$ 所满足的随机微分方程(15)是一个常系数的Langvien方程, 可以求出它的解析表达式为

$$\eta(t) = e^{-\frac{1}{\tau_\eta}t}\eta(0) + \sqrt{\frac{2}{\tau_\eta}}e^{-\frac{1}{\tau_\eta}t} \int_0^t e^{\frac{1}{\tau_\eta}s} dB_\eta(s) = \sqrt{\frac{2}{\tau_\eta}}e^{-\frac{1}{\tau_\eta}t} \int_0^t e^{\frac{1}{\tau_\eta}s} dB_\eta(s),$$

不妨设 $t' < t$, 那么

$$\eta(t)\eta(t') = \frac{2}{\tau_\eta}e^{-\frac{1}{\tau_\eta}(t+t')} \left(\int_0^{t'} e^{\frac{1}{\tau_\eta}s} dB_\eta(s) + \int_{t'}^t e^{\frac{1}{\tau_\eta}s} dB_\eta(s) \right) \int_0^{t'} e^{\frac{1}{\tau_\eta}s} dB_\eta(s),$$

根据 $\left\langle \int_{t'}^t e^{\frac{1}{\tau_\eta}s} dB_\eta(s) \int_0^{t'} e^{\frac{1}{\tau_\eta}s} dB_\eta(s) \right\rangle = 0$ 和伊藤等距公式, 对上式取期望可得

$$\langle \eta(t)\eta(t') \rangle = \frac{2}{\tau_\eta}e^{-\frac{1}{\tau_\eta}(t+t')} \int_0^{t'} e^{\frac{2}{\tau_\eta}s} ds = e^{-\frac{1}{\tau_\eta}(t-t')} - e^{-\frac{1}{\tau_\eta}(t+t')}, \quad (18)$$

比论文中的结果即(3)式多了 $-e^{-\frac{1}{\tau_\eta}(t+t')}$ 这一项, 经过几次计算检验没有发现问题, 是否推导思路有问题, 后面的相关计算还是基于(3)式。

解析表达式(4)的推导: 令 $f(t, x) = e^{I_e(t)}x$, 那么

$$\frac{\partial f}{\partial t} = \frac{k_e(t)}{\gamma}e^{I_e(t)}x, \quad \frac{\partial f}{\partial x} = e^{I_e(t)}, \quad \frac{\partial^2 f}{\partial x^2} = 0.$$

根据方程(15)和Itô引理,

$$\begin{aligned}
df(t, x(t)) &= \frac{\partial f}{\partial t}(t, x(t))dt + \frac{\partial f}{\partial x}(t, x(t))dx(t) + \frac{1}{2} \frac{\partial^2 f}{\partial x^2}(t, x(t)) \frac{\sqrt{D_h}}{\gamma^2} dt \\
&= \frac{k_e(t)}{\gamma} e^{I_e(t)} x(t) dt + e^{I_e(t)} \left(-\frac{k_e(t)}{\gamma} x(t) dt + \frac{D_h}{\gamma} dB(t) \right) \\
&= \frac{\sqrt{D_h}}{\gamma} e^{I_e(t)} dB(t),
\end{aligned}$$

因此

$$e^{I_e(t)} x(t) = x_0 + \frac{\sqrt{D_h}}{\gamma} \int_0^t e^{I_e(t)} dB(t) \quad (0 < t \leq \frac{\tau}{2}), \quad (19)$$

两边同时乘以 $e^{-I_e(t)}$ 即得(4)式。

解析表达式(5)的推导: 求解方法完全类似(4)的推导, 令 $g(t, x) = e^{I_c(t)} x$, 则有

$$\frac{\partial g}{\partial t} = \frac{k_c(t)}{\gamma} e^{I_c(t)} x, \quad \frac{\partial g}{\partial x} = e^{I_c(t)}, \quad \frac{\partial^2 g}{\partial x^2} = 0.$$

由方程(16)和Itô引理,

$$\begin{aligned}
dg(t, x(t)) &= \frac{\partial g}{\partial t}(t, x(t))dt + \frac{\partial g}{\partial x}(t, x(t))dx(t) + \frac{1}{2} \frac{\partial^2 g}{\partial x^2}(t, x(t)) \frac{D_c}{\gamma^2} dt \\
&= \frac{k_c(t)}{\gamma} e^{I_c(t)} x(t) dt + e^{I_c(t)} \left(-\frac{k_c(t)}{\gamma} x(t) dt + \frac{\sqrt{D_c}}{\gamma} dB(t) + \frac{1}{\gamma} \sqrt{\frac{D_\eta}{\tau_\eta}} \eta(t) dt \right) \\
&= \frac{1}{\gamma} \sqrt{\frac{D_\eta}{\tau_\eta}} e^{I_c(t)} \eta(t) dt + \frac{\sqrt{D_c}}{\gamma} e^{I_c(t)} dB(t),
\end{aligned}$$

因此

$$e^{I_c(t)} x(t) = x(\tau/2) + \frac{1}{\gamma} \int_{\frac{\tau}{2}}^t e^{I_c(t')} \left(\sqrt{D_c} dB(t) + \sqrt{\frac{D_\eta}{\tau_\eta}} \eta(t') dt \right) \quad (\frac{\tau}{2} < t \leq \tau), \quad (20)$$

两端同时乘以 $e^{-I_c(t)}$ 得到解析式(5)。

位置方差所满足的方程(6)和(7)的推证: 当 $0 < t \leq \frac{\tau}{2}$, 由Itô乘积公式和方程(15), 可得

$$\begin{aligned}
dx^2(t) &= 2x(t)dx(t) + (dx(t))^2 \\
&= -\frac{2k_e(t)}{\gamma} x^2(t) dt + \frac{2\sqrt{D_h}}{\gamma} x(t) dB(t) + \frac{D_h}{\gamma^2} dt
\end{aligned}$$

同时除以 dt 乘以 γ 并取期望，得到位置方差 $\sigma_e(t)$ 所满足的方程

$$\gamma \dot{\sigma}_e(t) = -2k_e(t)\sigma_e(t) + \frac{D_h}{\gamma}, \quad (21)$$

其中右边第二项消失是因为Itô型随机积分的期望为0。将(8)式代入(6)式立即发现，上述常微分方程(21)与(6)是等价的。类似地，当 $\frac{\tau}{2} < t \leq \tau$ ，应用Itô乘积公式得到

$$\begin{aligned} dx^2(t) &= 2x(t)dx(t) + (dx(t))^2 \\ &= -\frac{2k_c(t)}{\gamma}x^2(t)dt + \frac{2\sqrt{D_c}}{\gamma}x(t)dB(t) + \frac{1}{\gamma}\sqrt{\frac{D_\eta}{\tau_\eta}}\eta(t)x(t)dt + \frac{D_c}{\gamma^2}dt, \end{aligned}$$

同样的，等式两边除以 dt 乘以 γ 并取期望得到

$$\gamma \dot{\sigma}_c(t) = -2k_c(t)\sigma_c(t) + \sqrt{\frac{D_\eta}{\tau_\eta}} \langle \eta(t)x(t) \rangle + \frac{D_c}{\gamma}, \quad (22)$$

等价于方程(7)。

接着来推导等式(9)：从SDEs (16)和(17)出发，依然利用Itô引理或随机微分的乘积公式可得

$$\begin{aligned} d(\eta(t)x(t)) &= \eta(t)dx(t) + x(t)d\eta(t) + d\eta(t)dx(t) \\ &= -\frac{\tau_\eta k_c(t) + \gamma}{\tau_\eta \gamma} \eta(t)x(t)dt + \frac{1}{\gamma} \sqrt{\frac{D_\eta}{\tau_\eta}} \eta^2(t)dt \\ &\quad + \frac{\sqrt{D_c}}{\gamma} \eta(t)dB(t) + \sqrt{\frac{2}{\tau_\eta}} x(t)dB_\eta(t) + \sqrt{\frac{2D_c}{\tau_\eta \gamma^2}} dB(t)dB_\eta(t), \end{aligned}$$

两边同时取期望，并利用(3)式得

$$\begin{cases} d \langle \eta(t)x(t) \rangle = -\left(\frac{k_c(t)}{\gamma} + \frac{1}{\tau_\eta}\right) \langle \eta(t)x(t) \rangle dt + \sqrt{\frac{D_\eta}{\tau_\eta \gamma^2}} dt, & \frac{\tau}{2} < t \leq \tau, \\ \langle \eta(\frac{\tau}{2})x(\frac{\tau}{2}) \rangle = 0, \end{cases} \quad (23)$$

由此便归结为常微分方程(23)的求解。用常数变易法求解，令 $c(t) = -\left(\frac{k_c(s)}{\gamma} + \frac{1}{\tau_\eta}\right) = -\left(\frac{k_0 s}{\gamma \tau} + \frac{1}{\tau_\eta}\right)$ ，预设解析解为 $\langle \eta(t)x(t) \rangle = h(t)e^{\int_{\frac{\tau}{2}}^t c(s)ds}$ ，代入方程(23)得

$$h'(t)e^{-\int_{\frac{\tau}{2}}^t c(s)ds} = \sqrt{\frac{D_\eta}{\tau_\eta \gamma^2}},$$

所以 $h(t) = \sqrt{\frac{D_\eta}{\tau_\eta \gamma^2}} \int_{\frac{\tau}{2}}^t e^{-\int_{\frac{\tau}{2}}^{t'} c(s) ds} dt' + c$, 其中 c 是积分常数,

$$\langle \eta(t)x(t) \rangle = \left[\sqrt{\frac{D_\eta}{\tau_\eta \gamma^2}} \int_{\frac{\tau}{2}}^t e^{-\int_{\frac{\tau}{2}}^{t'} c(s) ds} dt' + c \right] e^{\int_{\frac{\tau}{2}}^t c(s) ds},$$

由初始条件 $\langle \eta(\frac{\tau}{2})x(\frac{\tau}{2}) \rangle = 0$ 确定积分常数 $c = 0$, 且 $\int_{\frac{\tau}{2}}^t c(s) ds = - \left(\sqrt{\frac{k_0}{2\gamma\tau}} t + \sqrt{\frac{\gamma\tau}{2k_0\tau_\eta^2}} \right)^2 + C$, 其中 C 是一个与时间 t 无关的常数, 因此

$$\begin{aligned} \langle \eta(t)x(t) \rangle &= \sqrt{\frac{D_\eta}{\tau_\eta \gamma^2}} \exp \left\{ - \left(\sqrt{\frac{k_0}{2\gamma\tau}} t + \sqrt{\frac{\gamma\tau}{2k_0\tau_\eta^2}} \right)^2 + C \right\} \int_{\frac{\tau}{2}}^t \exp \left\{ \left(\sqrt{\frac{k_0}{2\gamma\tau}} t' + \sqrt{\frac{\gamma\tau}{2k_0\tau_\eta^2}} \right)^2 - C \right\} dt' \\ &= \sqrt{\frac{D_\eta}{\tau_\eta \gamma^2}} \exp \left[- \frac{(k_0\tau_\eta t + \gamma\tau)^2}{2k_0\gamma\tau\tau_\eta^2} \right] \int_{\frac{\tau}{2}}^t \exp \left\{ \left(\sqrt{\frac{k_0}{2\gamma\tau}} s + \sqrt{\frac{\gamma\tau}{2k_0\tau_\eta^2}} \right)^2 \right\} ds, \end{aligned}$$

做变量代换 $-iz = \sqrt{\frac{k_0}{2\gamma\tau}} s + \sqrt{\frac{\gamma\tau}{2k_0\tau_\eta^2}}$, 则上式中的积分下、上限分别变为

$$\begin{cases} -iz_1 = \sqrt{\frac{k_0}{2\gamma\tau}} \frac{\tau}{2} + \sqrt{\frac{\gamma\tau}{2k_0\tau_\eta^2}} = \frac{\sqrt{\tau}(k_0\tau_\eta + 2\gamma)}{2\tau_\eta\sqrt{2k_0\gamma}}, \\ -iz_2 = \sqrt{\frac{k_0}{2\gamma\tau}} t + \sqrt{\frac{\gamma\tau}{2k_0\tau_\eta^2}} = \frac{k_0\tau_\eta t + \gamma\tau}{\tau_\eta\sqrt{2k_0\gamma\tau}}, \end{cases}$$

我们有

$$\begin{aligned} \langle \eta(t)x(t) \rangle &= \sqrt{\frac{\pi\tau D_\eta}{2k_0\gamma\tau_\eta}} \exp \left[- \frac{(k_0\tau_\eta t + \gamma\tau)^2}{2k_0\gamma\tau\tau_\eta^2} \right] \times (-i) \frac{2}{\sqrt{\pi}} \int_{i\frac{\sqrt{\tau}(k_0\tau_\eta + 2\gamma)}{2\tau_\eta\sqrt{2k_0\gamma}}}^{i\frac{k_0\tau_\eta t + \gamma\tau}{\tau_\eta\sqrt{2k_0\gamma\tau}}} e^{-z^2} dz, \\ &= \sqrt{\frac{\pi\tau D_\eta}{2k_0\gamma\tau_\eta}} \exp \left[- \frac{(k_0\tau_\eta t + \gamma\tau)^2}{2k_0\gamma\tau\tau_\eta^2} \right] \left[-i \operatorname{erf} \left(i \frac{k_0\tau_\eta t + \gamma\tau}{\tau_\eta\sqrt{2k_0\gamma\tau}} \right) + i \operatorname{erf} \left(i \frac{\sqrt{\tau}(k_0\tau_\eta + 2\gamma)}{2\tau_\eta\sqrt{2k_0\gamma}} \right) \right], \\ &= \sqrt{\frac{\pi\tau D_\eta}{2k_0\gamma\tau_\eta}} \exp \left[- \frac{(k_0\tau_\eta t + \gamma\tau)^2}{2k_0\gamma\tau\tau_\eta^2} \right] \left[\operatorname{erfi} \left(\frac{k_0\tau_\eta t + \gamma\tau}{\tau_\eta\sqrt{2k_0\gamma\tau}} \right) - \operatorname{erfi} \left(\frac{\sqrt{\tau}(k_0\tau_\eta + 2\gamma)}{2\tau_\eta\sqrt{2k_0\gamma}} \right) \right], \end{aligned}$$

此即(9)式。

完全类似地, 运用常数变易法求解微分方程(21)和(22), 可得到位置方差 $\sigma_e(t)$ 和 $\sigma_c(t)$ 的解析表达式(10)和(11)。第一个周期的平均功

$$\begin{aligned} \langle W \rangle &= \frac{1}{2} \int_0^{\frac{\tau}{2}} \dot{k}_e(t) \sigma_e(t) dt + \frac{1}{2} \int_{\frac{\tau}{2}}^\tau \dot{k}_c(t) \sigma_c(t) dt \\ &= \frac{k_0}{2\tau} \left(\int_0^{\frac{\tau}{2}} \sigma_e(t) dt - \int_{\frac{\tau}{2}}^\tau \sigma_c(t) dt \right). \end{aligned} \quad (24)$$

3.2 无活性粒子的准静态Stirling热机的效率

另外，我们再考虑在无粒子活性的情况下准静态的Stirling发动机的效率，即在 $\tau \rightarrow +\infty$ 时的准静态驱动，文中附录A推证了其效率的计算公式

$$\eta_{stirling} = \frac{\eta_c}{1 + \eta_c \left[\ln \left(\frac{k_{max}}{k_{min}} \right) \right]^{-1}},$$

其中 $\eta_c = 1 - \frac{T_c}{T_h}$ 是Carnot热机的效率。将 $k_{max} = k_0, k_{min} = k_0/2, \frac{T_c}{T_h} = \frac{D_c}{D_h}$ 代入得到

$$\eta_{stirling} = \frac{(T_h - T_c) \ln 2}{(1 + \ln 2)T_h - T_c} = \frac{(D_h - D_c) \ln 2}{(1 + \ln 2)D_h - D_c},$$

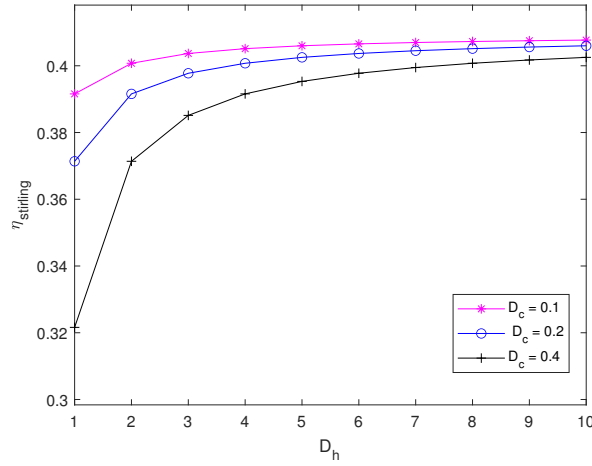


图 2: 无活性粒子的准静态Stirling热机的效率随热浴噪声强度增大而增大，最后趋于定值。

3.3 与发动机相连的飞轮

热机-飞轮的耦合系统(13)-(14)可以写成

$$\gamma \begin{bmatrix} \dot{x}_1 \\ \dot{x}_2 \end{bmatrix} = \begin{bmatrix} -(k_e(t) + K') & K' \\ K' & -(K + K') \end{bmatrix} \begin{bmatrix} x_1 \\ x_2 \end{bmatrix} + \begin{bmatrix} \sqrt{D_h} \\ \sqrt{D_h} \end{bmatrix} \xi, \quad 0 < t \leq \frac{\tau}{2},$$

$$\gamma \begin{bmatrix} \dot{x}_1 \\ \dot{x}_2 \end{bmatrix} = \begin{bmatrix} -(k_c(t) + K') & K' \\ K' & -(K + K') \end{bmatrix} \begin{bmatrix} x_1 \\ x_2 \end{bmatrix} + \begin{bmatrix} \sqrt{D_c} \\ \sqrt{D_c} \end{bmatrix} \xi + \begin{bmatrix} \sqrt{\frac{D_\eta}{\tau_\eta}} \\ 0 \end{bmatrix} \eta, \quad \frac{\tau}{2} < t \leq \tau,$$

记 $x(t) = [x_1(t) \ x_2(t)]^T$, $b_h = \frac{1}{\gamma} [\sqrt{D_h} \ \sqrt{D_h}]^T$, $b_c = \frac{1}{\gamma} [\sqrt{D_c} \ \sqrt{D_c}]^T$, $d_\eta = \frac{1}{\gamma} [\sqrt{\frac{D_\eta}{\tau_\eta}} \ 0]^T$,

及

$$A_e(t) = \frac{1}{\gamma} \begin{bmatrix} k_0 \left(1 - \frac{t}{\tau}\right) + K' & -K' \\ -K' & K + K' \end{bmatrix}, \quad A_c(t) = \frac{1}{\gamma} \begin{bmatrix} k_0 \frac{t}{\tau} + K' & -K' \\ -K' & K + K' \end{bmatrix},$$

那么(13)-(14)可以写成如下的SDEs

$$dx(t) = -A_e(t)x(t)dt + b_h dB(t) \quad 0 < t \leq \frac{\tau}{2}, \quad (25)$$

$$dx(t) = -A_c(t)x(t)dt + b_c dB(t) + d_\eta \eta(t)dt \quad \frac{\tau}{2} < t \leq \tau. \quad (26)$$

论文中是对系统(13)-(14)做数值模拟，我认为将其转化成等价的SDEs (25)-(26)后，类似于前面的求解可以得到形式上的解析表达式。对方程(25)应用多维的Itô引理有

$$d\left(e^{\int_0^t A_e(s)ds} x(t)\right) = e^{\int_0^t A_e(s)ds} b_h dB(t),$$

从而

$$x(t) = e^{-\int_0^t A_e(s)ds} x_0 + e^{-\int_0^t A_e(s)ds} \int_0^t e^{\int_0^{t'} A_e(s)ds} b_h dB(t'), \quad 0 < t \leq \frac{\tau}{2}. \quad (27)$$

类似地可得

$$x(t) = e^{-\int_{\frac{\tau}{2}}^t A_e(s)ds} x(\tau/2) + e^{-\int_{\frac{\tau}{2}}^t A_e(s)ds} \int_{\frac{\tau}{2}}^t e^{\int_{\frac{\tau}{2}}^{t'} A_e(s)ds} (b_h dB(t') + d_\eta \eta(t)dt), \quad 0 < t \leq \frac{\tau}{2}, \quad (28)$$

然后可以依据(27)-(28)式，对其中的随机积分进行数值模拟，得近似解 \tilde{x}_1 和 \tilde{x}_2 ，再近似计算位置方差。

同论文中的思路，我们直接对方程(13)-(14)做数值模拟，这里我用Euler法来数值求解(25)-(26)，再近似求解飞轮粒子的位置方差函数 $\sigma_f(t) = \langle x_2(t)x_2(t) \rangle$ 。将周期区间 $[0, \tau]$ 离散成均匀网格 $t_n = n\Delta t$, ($n = 0, 1, \dots, N$), $\Delta t = \frac{\tau}{2N}$ ，即把半个周期以步长 Δt 均分为 N 个小区间，随机Euler方法运用于SDEs (25)-(26)得到

$$x_{n+1} = x_n - A_e(t_n)x_n\Delta t + b_h\Delta B(t_n) \quad 0 \leq n < N, \quad (29)$$

$$\begin{cases} x_{n+1} = x_n - A_c(t_n)x_n\Delta t + b_c\Delta B(t_n) + d_\eta\eta_n\Delta t, \\ \eta_{n+1} = \eta_n - \frac{1}{\tau_\eta}\eta_n\Delta t + \sqrt{\frac{2}{\tau_\eta}}\Delta B(t_n) \end{cases} \quad N \leq n \leq 2N, \quad (30)$$

其中 $\Delta B(t_n) := B(t_{n+1}) - B(t_n) \sim N(0, \Delta t)$ 。如若随机模拟了 M 条样本轨道，那么可以近似计算出飞轮粒子的位置方差

$$\sigma_f(t_n) \approx \frac{\sum_{m=1}^M (x_{2,n}^m)^2}{M}, \quad 0 \leq n \leq 2N + 1, \quad (31)$$

其中 $x_{2,n}^m$ 表示第 m 条模拟轨道的 $x_2(t_n)$ 的Eluer方法的数值近似。

取 $M = 5000$, $N = 500$ 做了数值模拟, 下图展示了第一个周期内飞轮的位置方差的演化, 可以看出, 有粒子活性时飞轮的位置函数下方的面积更大, 说明发动机输出的功更大。

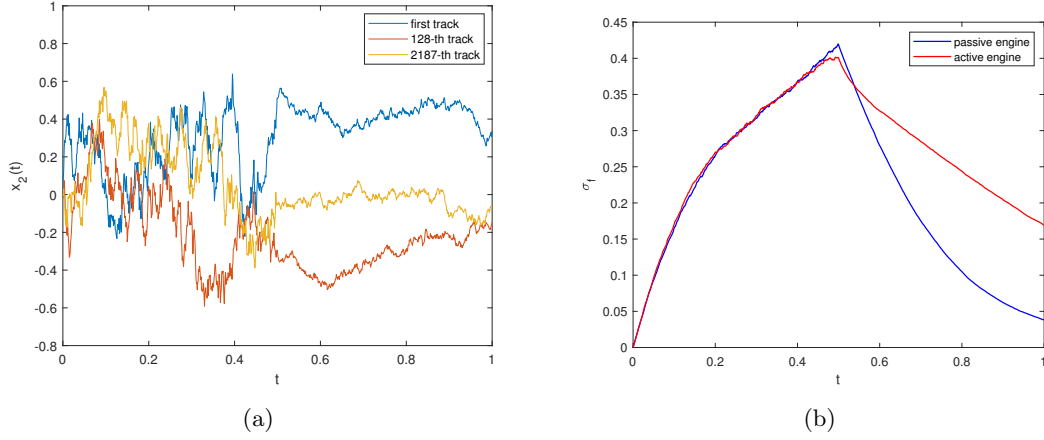


图 3: 参数值为 $\tau = 1$, $k_0 = 10$, $\tau_\eta = 1$, $D_c = 0.1$, $D_h = 2$, $D_\eta = 10$, $K = 0.1$, $K' = 10$ 。(a): 随机模拟的飞轮粒子的3条轨道 (b): 飞轮粒子的位置方差在第一个周期内的演化。

读完这篇论文, 个人有一些浅短的想法: 模型中的白噪声 ξ 和 ξ_η 是否可以看作是同一白噪声? 如果是活性粒子置于活性浴液如细菌浴中会不会有更好的效果。

参考文献

- [1] Clemens Bechinger, Roberto Di Leonardo, Hartmut Löwen, Charles Reichhardt, Giorgio Volpe, and Giovanni Volpe. Active particles in complex and crowded environments. *Reviews of Modern Physics*, 88(4):045006, 2016.
- [2] Valentin Blickle and Clemens Bechinger. Realization of a micrometre-sized stochastic heat engine. *Nature Physics*, 8(2):143–146, 2012.
- [3] Sudeesh Krishnamurthy, Subho Ghosh, Dipankar Chatterji, Rajesh Ganapathy, and AK Sood. A micrometre-sized heat engine operating between bacterial reservoirs. *Nature Physics*, 12(12):1134–1138, 2016.
- [4] Aradhana Kumari, PS Pal, Arnab Saha, and Sourabh Lahiri. Stochastic heat engine using an active particle. *Physical Review E*, 101(3):032109, 2020.
- [5] M Cristina Marchetti, Jean-François Joanny, Sriram Ramaswamy, Tanniemola B Liverpool, Jacques Prost, Madan Rao, and R Aditi Simha. Hydrodynamics of soft active matter. *Reviews of modern physics*, 85(3):1143, 2013.
- [6] Arnab Saha and Rahul Marathe. Stochastic work extraction in a colloidal heat engine in the presence of colored noise. *Journal of Statistical Mechanics: Theory and Experiment*, 2019(9):094012, sep 2019.
- [7] T. Schmiedl and U. Seifert. Efficiency at maximum power: An analytically solvable model for stochastic heat engines. *EPL (Europhysics Letters)*, 81(2):20003, dec 2007.

Algorithm 1 Matlab code for Euler method (29)-(30)

Input: $D_h, D_\eta, D_c, \tau, \tau_\eta, K, K', k_0, \gamma$

Output: $x_{2,n}^m, \sigma_f$

Code :

```
global Dh Deta Dc tau taueta K Ks k0 gamma
Dh = 2; Deta = 10; Dc = 0.1; tau = 1; taueta = 1;
K = 0.1; Ks = 10; k0 = 10; gamma = 1; M = 5000; N = 500; h = 0.5/N; t = 0:h:tau;
bh = [sqrt(Dh); sqrt(Dh)]/gamma; bc = [sqrt(Dc); sqrt(Dc)]/gamma;
deta = [sqrt(Deta/taueta); 0]/gamma; W = sqrt(h)*randn(2*N,M);
x = zeros(2,2*N+1, M); eta = zeros(2*N+1, M);
for m = 1:M
    for n = 1:N-1
        x(:,n+1,m) = x(:,n,m) - Ae(t(n))*x(:,n,m)*h + bh*W(n,m);
        eta(n+1,m) = eta(n,m) - 1/taueta*eta(n,m)*h + sqrt(2/taueta)*W(n,m);
    end
    for n = N:2*N
        x(:,n+1,m) = x(:,n,m) - Ac(t(n))*x(:,n,m)*h + bc*W(n,m) + deta*eta(n,m)*h;
        eta(n+1,m) = eta(n,m) - 1/taueta*eta(n,m)*h + sqrt(2/taueta)*W(n,m);
    end
end
sigmaf = sum(x(2, :, :). ^ 2,3)/M;
hold on
plot(t, sigmaf, 'r', 'LineWidth',1)
Ae.m
function Ae = Ae(tn)
global tau K Ks k0 gamma
Ae = [ k0*(1-tn/tau)+Ks -Ks; -Ks K+Ks ]/gamma;
Ac.m
function Ac = Ac(tn)
global tau K Ks k0 gamma
Ac = [ k0*tn/tau+Ks -Ks; -Ks K+Ks ]/gamma;
```
